

III-143 粒度からの透水度算定値と現地透水試験値との比較について

中堀ソイルコーナー

正員

中堀和英

正員

○諏訪靖二

1. まえがき

基礎の掘削・地下水利用のため、実際地盤の透水度を求めるることは、その計画上から極めて重要なことである。またその信頼できる値を得るには、大掛かりな揚水試験などは望ましいのであるが、時間・経費の両面から実行できる場合は少ない。したがって、その概略値をあらかじめ土の粒径加積曲線から算定する方法も使わざるを得ないことも多い。これには、従来から Hazen, Terzaghi, Kozeny, などの提唱している算定式がある。

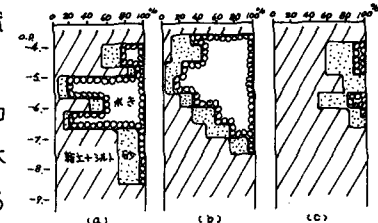


図-1

本報告ではそれらから求めた値と、現地透水試験で得られた値とを比較し、その信頼性を比較検討して見た。

2. 地盤および現地透水試験の方法

現地透水試験を行った場所は大阪湾岸埋立地、以前に土運船などで順次土砂投棄して埋められた複雑な人工地盤である。粒度組成は図-1, 2 のようである。シルト・粘土も混え、きれいな砂の部分は無い。透水層内の透水度分布を著しく変化を見せ、脈状の様相を示す。透水試験は定水位注水試験・簡易なポンプによる揚水試験・回復試験で、Thiem, クリメントフなどの解法に従った。

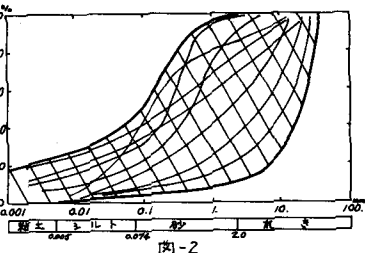


図-2

3. 考察

粒度からの先の3氏の式は次に示す通りである。

Hazen式

$$k = C(0.7 + 0.03t) d_{10}^2 (\%_{se}) \quad \dots (1)$$

C: 50~150

t: 水温

d_{10} : 有効径 (cm)

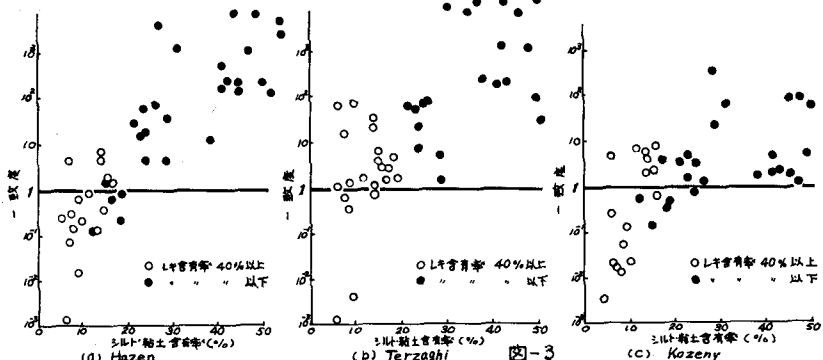


図-3

(a) Hazen

(b) Terzaghi

(c) Kozeny

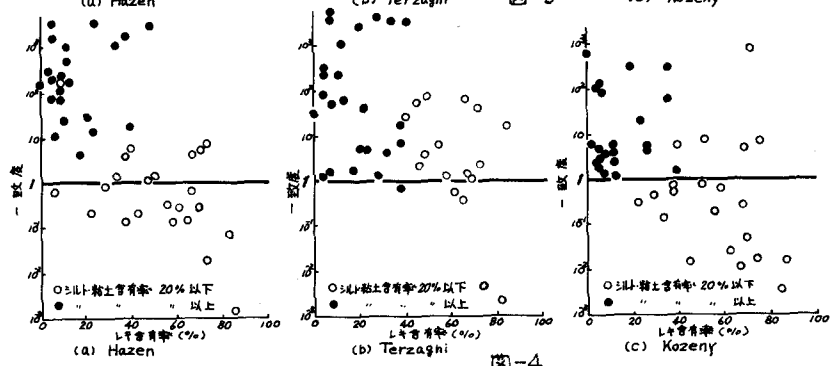


図-4

(a) Hazen

(b) Terzaghi

(c) Kozeny

Terzaghi 式 $k = \left(\frac{C}{N_c} \right) \left(\frac{\mu_0}{\mu_t} \right) \left(\frac{\lambda - 0.13}{1 - \lambda} \right)^2 d_{10}^2 \text{ (cm/sec)} \quad \dots \dots \dots (2)$
 $\mu_0: 460 \sim 800 \quad \mu_0, \mu_t: \text{温度 } 10^\circ \text{C}, t^\circ \text{C} \text{ の粘性係数} \quad d_{10}: \text{有効径 (cm)} \quad \lambda: \text{間げき率}$

Kozeny 式 $k = \frac{Cg}{\nu} \frac{\lambda^3}{(1-\lambda)^2} d_s^2 \text{ (cm/sec)} \quad \dots \dots \dots (3)$
 $C: \text{砂粒の形状係数 } 0.003 \sim 0.0055 \quad g: \text{重力加速度 (9.81m/sec}^2 \quad \nu: \text{流体の動粘性係数}$
 $d_s: \text{平均直径} \quad \frac{1}{d_s} = \sum \frac{A_i}{d_i} \quad \frac{1}{d_{10}} = \frac{1}{3} \left(\frac{1}{d_1} + \frac{2}{d_{10,2}} + \frac{1}{d_3} \right)$

Hazen式は有効径による方法。Terzaghi式は有効径の他に間げき率の影響を考えたもの。Kozeny式は粒子の平均直径と間げき率による方法である。現地条件により、(1)式で $C=120$ 、(2)式で $\frac{C}{N_c}=460$ 、また間げき率は標準貫入試験 N 値より推定した。算定式に使用した粒度は、図-1 の各地点とも、シルト・粘土の少ない最も主要と見なされる透水層の平均的な粒径加積曲線を使った。

図-3,4 の縦軸に示す一致度とは、(透水試験よりの k)/(粒度よりの k) で表わされる。横軸にはシルト・粘土およびれきの含有率を取った。これを見ると Hazen 式ではシルト・粘土の含有率 20% 以下、れき含有率 40% 以上のものが比較的良好一致度を示すが、現地透水試験より過大に出る傾向がある。このことは Hazen 式がろ過砂などを主な対象にしていることからもうなずける。Terzaghi 式では全般に過小に出る傾向が見られる。Kozeny 式では全体的にばらつきも少ないが、シルト・粘土 20% 以下、れき 40% 以上の透水の良いものは過大に出る傾向が見られ、シルト・粘土の多いローム系の土に対して比較的ばらつきが少ない。

図-5 は粘土およびシルト・粘土の含有率と現地透水試験による透水係数の関係である。図中の太い実線は松尾・木暮による k -Clay, k -Silt-Clay である。白黒丸を実点線で結んであるのは同一サンプルを示す。この内点線のものは松尾・木暮による関係より大巾にはずれているものを示す。これらはいずれも図-1(c)のような粒度組成で、透水度の低い層の中に、脈状に砂のシームが発達し、その粒度の把握ができていないものと考える。そこで点線のを除いた残りのものについて見ると k -Clay については松尾・木暮の関係に近い分布を示している。このことは粒度から透水係数を算定する場合には、シルト・粘土の最も少ない主要な透水層の粒度組成を計算に用いることが妥当であることを示している。

4. むすび

粒度からの算定には地盤各層の詳しい粒度把握が必要である。算定式の特質・適用される土質の範囲などを見分知って使う必要がある。図-5 による検討も有用である。

今回のようにシーム状・脈状に発達した透水層の場合には平均粒径の採り方に特に注意が必要である。

① SCHULTZE, E. and E. MENZENBACH (1961) Standard penetration test and compressibility of soils. Proc Symp ICSM Vol 1 pp.527-552

② 松尾新一郎・樺敬二 (1969) 土の透水性に関する一考察 土と基礎 Vol 17 No 5 p.23~29

